

## حل للفشريات الاسطوانية حسب نظرية الفشريات العامة "العزمية" و تطبيق ذلك في حساب قنطرة ريا مرفوعة ذات مقطع قطعي مكافئ

الدكتور عبد الرزاق الحسين<sup>1</sup>

### الملخص

نقدم في هذا البحث، الذي يعتمد على النظرية العامة للفشريات، حلًّا للفشريات الاسطوانية ذوات مقاطع من الدرجة الثانية أو الرابعة مثل الفشريات نصف الدائرية والقطعية الناقصة والقطعية الزائدة والقطعية المكافئة وغيرها، وذوات السماكات المتغيرة، ودون إهمال أي حد من حدود النظرية العامة للفشريات المرنة والరقيقة. جرت كتابة معادلات نظرية الفشريات حسب التشوهات ومشتقاتها وهي مكونة من ثلاثة معادلات اشتراك جزئي. وباستعمال فصل المتغيرات جرى الحصول على  $n$  جملة من ثلاثة معادلات تفاضلية عادية. يجري حل هذه المعادلات بافتراض الحل على شكل سلاسل متباينة للمشتقة ذات المرتبة الأولى. ويجري الحصول على التشوهات ومشتقاتها بتكامل تلك السلاسل. وسوف يجري تحديد ثوابت التكامل من الشروط الحدية. وباستعمال توابع متعمدة يمكن الحصول على  $n$  جملة معادلات جبرية.

إن العدد الكلي لهذه المعادلات ومعادلات الشروط الحدية يساوي الأمثال المجهولة للسلاسل المتباينة المجهولة وثوابت التكامل. أما الحمولات الخارجية فيمكن أن تكون أية حمولة، مثل الوزن الذاتي أو ضغط الماء الهيدروليكي أو قوى العطالة. جرى عرض هذه الصياغة الجديدة في حل لقناة ريا مرفوعة ذات مقطع قطعي مكافئ متغيرة السماكة وخاضعة للضغط الهيدروليكي.

<sup>1</sup> أستاذ- قسم الهندسة المائية- كلية الهندسة المدنية- جامعة دمشق.

#### المقدمة:

لاقت القشريات انتشاراً واسعاً في المنشآت المدنية، فقد استعملت في السطوح والصوامع والسدود القوسية و أقنية الري المرفوعة وغيرها، حيث بني سد قوسى بارتفاع 270 م. يعود سبب هذا الانشار إلى أن هذه المنشآت القشرية تعمل بصورة أساسية على الضغط مع وجود مادة بناء عالية المقاومة على الضغط وهي البيتون. وهذا التوافق بين المخطط الحسابي وخواص مواد البناء سمح بهذا الانشار الواسع. على سبيل المثال إن سداً قوسياً تبلغ سماكته زهاء 2 م بارتفاع 88 م. واجه التحليل الإنسائي لمثل هذه المنشآت صعوبات حقيقة. وافتراض المحاولات المبكرة لتحليل القشريات إهمال العمل الثلاثي الأبعاد، واعتماد نموذج العمل القوسى. هناك طريقة أخرى لحل هذه المشكلة، هي نمذجة القشرية كمجموعة من الأقواس والأظفار، وباستخدام مساواة التشوّهات في نقاط التقاطع، يمكن توزيع الحمولات بين الأقواس والأظفار.

إن الحل العام للقشريات يتطلب تكامل جملة من ثلاثة معادلات تقاضلية جزئية مع تطبيق الشروط الحدية. ويشكل هذا صعوبة حقيقة ضمن الإطار العام لنظرية القشريات المرنة والرقيقة. ولهذا انصبت الجهود على التبسيط، كاعتماد نظرية الأفعشية المرنة. ولكن نظرية القشريات الغشائية تهمل العزوم التي تؤدي دوراً خاصاً عند حدود القشرية. يمهد تطور طرق العناصر المحدودة لعصر جديد في طرق الحساب، ستقود إلى تقدم مهم يساعد في الحصول على حلول لأعقد المسائل. وهذه التطورات كانت أحد الأسباب التي أوقفت جهود الباحثين بالبحث عن حلول تحليلية في نظرية القشريات العامة. ومع ذلك يمكن التوصل لحلول تحليلية لبعض القشريات. سبق أن قدم المؤلف حلًّا لقشرية دورانية، مع تطبيقه في تحليل سد قوسى متغير السمكة والنقوس[3]. وسوف يقدم في هذا البحث حلًّا لقشريات اسطوانية متغيرة

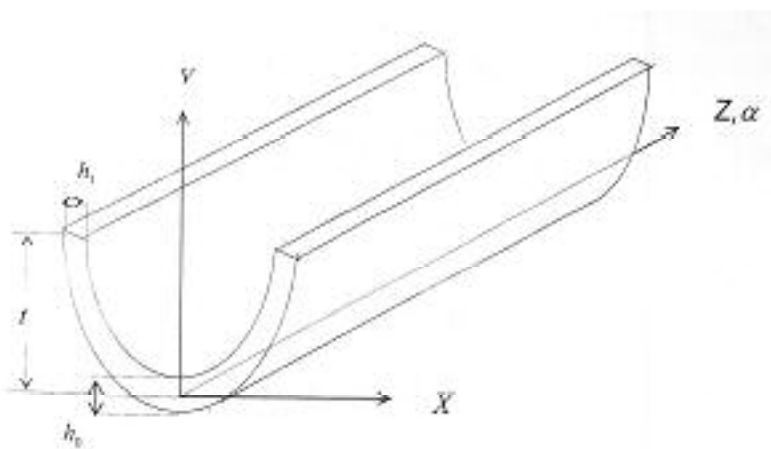
السماكة وذات مقاطع عرضية من الدرجة الثانية أو الرابعة، كنصف دائرة وقطع مكافئ وقطع ناقص وقطع زائد مع شروط حدية مختلفة، وتطبيق ذلك لتحليل قناة ريمفوعة ذات مقطع قطعي مكافئ ومتغيرة السماكة.

الصياغة:

للقشريات الاسطوانية مقاطع عرضية عديدة، مثل نصف الدائرية والقطعية المكافئة والقطعية الناقصة والقطعية الزائدة. وسوف نقدم في هذا البحث حلًّا تحليلياً لمثل هذه القشرية على أساس النظرية العامة للنظرية العزمية للكسرات المرنة الرقيقة.

نبدأ الصياغة من الشكل العام للكسرات الاسطوانية، كما هو مبين على الشكل (1)، والتي حدثت في جملة الإحداثيات ( $X, Y, Z$ ). إن السطح المتوسط لهذه القشرية، هو سطح اسطواني من الدرجة الثانية أو الرابعة، والذي نحصل عليه من تحرك خط مستقيم مولد، موازٍ لمحور الإحداثيات  $Z$ ، على طول منحنى يمكن له أن يأخذ أي شكل من أشكال المنحنيات المنوه عنها. تحدد الإحداثيات المنحنية  $\alpha$  و  $\beta$  على السطح المتوسط للقشرية . حيث خطوط  $\alpha$  موازية لمحور  $Z$  ، في حين تتجoin الخطوط  $\beta$  عن تقاطع سطح موازٍ للسطح  $XOY$  مع القشرية. مثل هذه الجملة ستكون متعمدة ومتراقة، وكلها  $\alpha$  و  $\beta$  تشكلان خطوط التقوس الأساسي للسطح تحدد معادلة المقطع العرضي للكسرية الاسطوانية (أي معادلة الدليل الوسطي للسطح الاسطواني) على الشكل الآتي:

$$y = f(x) \quad (1)$$



الشكل (١)

و كما هو معروف من نظرية السطوح، تحدد عوامل الصيغة التربيعية الأولى للسطح  $B$  كالتالي [1] ،  $A$ :

$$A = 1 \\ B = \sqrt{1 + \left(\frac{dy}{dx}\right)^2} \quad (2)$$

إن نصف قطر النقوس الرئيسي الأول  $R_1$  على استقامة خطوط  $\alpha$  يساوي:

$$R_1 = \infty$$

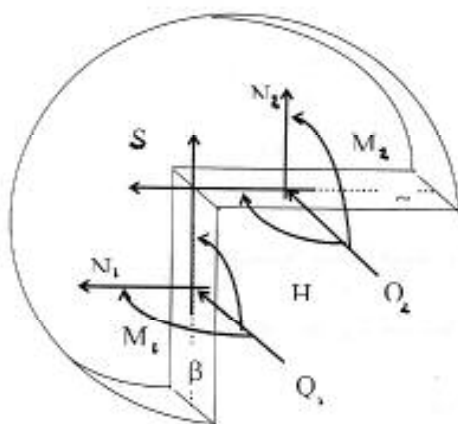
و نصف قطر النقوس الرئيسي الثاني  $R_2$  على طول خطوط  $\beta$  يساوي:

$$R_2 = R = \frac{\left[1 + \left(\frac{dy}{dx}\right)^2\right]^{\frac{3}{2}}}{\frac{d^2y}{dx^2}} \quad (3)$$

عند وضع عناصر السطح هذه ( $R_2-R_1-B-A$ ) في علاقات توازن القشريات المرنة  
نحصل على: [7-2]

$$\begin{aligned} B \frac{\partial N_1}{\partial \alpha} + \frac{\partial S_2}{\partial \beta} + B q_\alpha &= 0 \\ \frac{\partial N_2}{\partial \beta} + B \frac{\partial S_1}{\partial \alpha} + B \frac{Q_2}{R} + B q_\beta &= 0 \\ B \frac{\partial Q_1}{\partial \alpha} + \frac{\partial Q_2}{\partial \beta} - B \frac{N_2}{R} + B q_n &= 0 \quad (4) \\ B \frac{\partial H_1}{\partial \alpha} + \frac{\partial M_2}{\partial \beta} - B Q_2 &= 0 \\ \frac{\partial H_2}{\partial \beta} + B \frac{\partial M_1}{\partial \alpha} - B Q_1 &= 0 \\ H_1 - H_2 - \frac{S_2}{R_2} &= 0 \end{aligned}$$

حيث القيم الآتية موضحة على الشكل 2 وهي على التوالي:



الشكل ٢

. القوى الجانبية وقوى القص وقوى الناظمية.  
 $(N_1, N)$ ،  $(S_1, S_2)$ ،  $(Q_1, Q_2)$   
عزوم الانحناء والفتل.

$q_n$  مركبات القوى المؤثرة على القشرية والمماسية للخطوط  $\alpha$  وللخطوط  $\beta$   
والناظمية على السطح المتوسط للقشرية.

سوف نعتمد الآتي، كما هو متعارف عليه في نظرية القشريات:

$$S_1 = S_2 = S \\ H_1 = H_2 = H$$

تأخذ العلاقات بين القوى والعزوم والتشوهات (قانون هوك) [7] الشكل الآتي:

$$N_1 = K(\varepsilon_1 + \nu\varepsilon_2) \\ N_2 = K(\varepsilon_2 + \nu\varepsilon_1) \\ S = K \frac{1-\nu}{2} \omega \quad (5)$$

$$M_1 = D(\chi_1 + \nu\chi_2)$$

$$M_2 = D(\chi_2 + \nu\chi_1)$$

$$H = D(1-\nu)\tau$$

$$K = \frac{Eh}{1-\nu^2} \quad \text{حيث:}$$

$$D = \frac{Eh^3}{12(1-\nu^2)}$$

$\varepsilon_1, \varepsilon_2, \omega$  - التشوهات الزاوية والخطية للسطح الوسطي.

$\chi_1, \chi_2, \tau$  - تشوهات السطح المتوسط التي تعبر عن الفتل والتحدب.

- عامل المرونة (**E** عامل يونغ)

- عامل التشوه الجانبي (**عامل بواسون**)

$h$  - سماكة القشرية، ويمكن لها أن تأخذ قيمةً متغيرة. و يمكن التعبير عن ذلك في  
حالة التغيير الخطى بالعلاقة:

$$h = h_0 - \lambda y \quad (6)$$

$$\lambda = \frac{h_0 - h_1}{t} \quad \text{حيث :}$$

$h_0$  - السماكة عند قعر القشرية (الشكل 1).

$h_1$  - سماكة الحافة العلوية للقشرية.

$t$  - عمق القشرية .

بتعويض  $R_2-R_1-B-A$  بقيمها من العلاقات 2 - 3 في معادلات تشوه القشريات [7]  
نحصل على:

$$\begin{aligned}\varepsilon_1 &= \frac{\partial u}{\partial \alpha} \\ \varepsilon_2 &= \frac{1}{B} \frac{\partial v}{\partial \beta} + \frac{w}{R} \\ \omega &= \frac{1}{B} \frac{\partial u}{\partial \beta} + \frac{\partial v}{\partial \alpha} \quad (7) \\ \chi_1 &= -\frac{\partial^2 w}{\partial \alpha^2} \\ \chi_2 &= -\frac{1}{B} \frac{\partial}{\partial \beta} \left( \frac{1}{B} \frac{\partial w}{\partial \beta} \right) \\ \tau &= -\frac{1}{B} \frac{\partial^2 w}{\partial \alpha \partial \beta}\end{aligned}$$

حيث:  $u, v, w$  - مركبات التشوهات الناظمية والمماسيتين لخطوط الإحداثيات  $\alpha$  ،  $\beta$  ،

من الآن فصاعدا سوف يجري اعتماد الرموز الآتية:

$$\frac{\partial(\underline{\underline{\sigma}})}{\partial \alpha} = (\underline{\underline{\sigma}})', \quad \frac{\partial(\underline{\underline{\sigma}})}{\partial \beta} = (\underline{\underline{\sigma}})^*$$

تستعمل "الفتحة" هنا للإشارة للمشتقة باتجاه المتغير  $\alpha$  أما "النجمة" فتشير للمشتقة باتجاه المتغير  $\beta$ . نحدد  $Q_1, Q_2$  من المعادلتين الرابعة والخامسة من مجموعة معادلات التوازن 4، ونضعهما في المعادلتين الثانية والثالثة من معادلات التوازن ذاتها، فنحصل على الجملة الآتية المكونة من ثلاثة معادلات:

$$\begin{aligned} BN'_1 + S^* + Bq + Bq_\alpha &= 0 \\ N'_2 + BS' + \frac{B}{R}H' + \frac{1}{R}M'_2 + Bq_\beta &= 0 \\ BM''_1 + 2H'^* + \left(\frac{1}{B}M'_2\right)^* - \frac{B}{R}N_2 + Bq_n &= 0 \quad (8) \end{aligned}$$

وستأخذ مجموعة معادلات التشوهدات (7) الشكل الآتي:

$$\begin{aligned} \varepsilon_1 &= u' \\ \varepsilon_2 &= \frac{v^*}{B} + \frac{w}{R} \\ \omega &= \frac{u^*}{B} + v' \quad (9) \\ \chi_1 &= -w'' \\ \chi_2 &= -\frac{1}{B}\left(\frac{1}{B}w^*\right)^* \\ \tau &= -\frac{1}{B}w'^* \end{aligned}$$

عند وضع هذه المعادلات في معادلات قانون هوك (5) نحصل على:

$$\begin{aligned} N_1 &= K\left(u' + v\frac{v^*}{B} + w\frac{w}{R}\right) \\ N_2 &= K\left(vu' + \frac{v^*}{B} + \frac{w}{R}\right) \\ S &= K \frac{1-\nu}{2} \left(\frac{u^*}{B} + v'\right) \end{aligned}$$

$$M_1 = D(-w'' - \nu \frac{w^{**}}{B^2} + \nu \frac{B^* w^*}{B^3}) \quad (10)$$

$$M_2 = D(-\nu w'' - \frac{w^{**}}{B^2} + \frac{B^* w^*}{B^3})$$

$$H = D(1 - \nu) \frac{w'^*}{B}$$

وبتعويض هذه القيم في معادلات التوازن (8) نحصل على:

$$B[K(u' + \nu \frac{v^*}{B} + \nu \frac{w}{R})] + [K \frac{1-\nu}{2} (\frac{u^*}{B} + v')]^* + Bq_\alpha = 0$$

$$[K(\nu u' + \frac{v^*}{B} + \frac{w}{R})]^* + B[K \frac{1-\nu}{2} (\frac{u^*}{B} + v')]^* + \frac{B}{R} [-D(1-\nu) \frac{w^*}{B}]^* + \frac{1}{R} [D(-\frac{w^{**}}{B^2} + \frac{B^* w^*}{B^3} - \nu w'')]^* + Bq_\beta = 0 \quad (11)$$

$$B[D(-w'' - \nu \frac{w^{**}}{B^2} + \nu \frac{B^* w^*}{B^3})]'' + 2[-(1-\nu)D \frac{w^*}{B}]^{**} + \frac{1}{B} [D(-\frac{w^{**}}{B^2} + \frac{B^* w^*}{B^3} - \nu w'')]^{**} - \frac{B^*}{B^2} [D(-\frac{w^{**}}{B^2} + \frac{B^* w^*}{B^3} - \nu w'')]^* - \frac{B}{R} [K(\frac{v^*}{B} + \frac{w}{R} + \nu u')] + Bq_n = 0$$

بإجراه كل الاشتقات والتحويلات والتنسيق في مجموعة المعادلات (11) نحصل على :

$$\frac{(1-\nu)h}{2B} u^{**} + [\frac{(1-\nu)h^*}{2B} - \frac{(1-\nu)B^* h}{2B^2}] u^* + Bhu'' +$$

$$\frac{(1+\nu)h}{2} v'^* + \frac{(1-\nu)h^*}{2} v' + \frac{\nu Bh}{R} w' = -\frac{(1-\nu^2)B}{E} q_\alpha$$

$$\begin{aligned}
 & \frac{(1+\nu)h}{2}u^* + \nu h^* u' + \frac{h}{B}v^{**} + \left(\frac{h^*}{B} - \frac{B^* h}{B^2}\right)v^* + \frac{(1-\nu)Bh}{2}v'' - \\
 & \frac{h^3}{12RB^2}w^{***} + \left(-\frac{(h^3)^*}{12RB^2} + \frac{3B^* h^3}{12RB^3}\right)w^{**} + \left(\frac{h}{R} + \frac{B^*(h^3)^*}{12RB^3} + \frac{B^{**} h^3}{12RB^3}\right) - \\
 & \frac{3(B^*)^2 h^3}{12RB^4})w^* + \frac{h^3}{12R}w^{**} - \frac{\nu(h^3)^*}{12R}w'' + \left(\frac{h^*}{R} - \frac{R^* h}{R^2}\right)w = -\frac{(1-\nu^2)B}{E}q_\beta \\
 & -\frac{12\nu Bh}{R}u' - \frac{12h}{R}v^* - \frac{h^3}{B^3}w^{****} + \left(-\frac{2(h^3)^*}{B^3} + \frac{6B^* h^3}{B^4}\right)w^{***} + \left(\frac{-(h^3)^*}{B^3} + \frac{7B^*(h^3)^*}{B^4}\right) + \\
 & \frac{4B^{**} h^3}{B^4} - \frac{15(B^*)^2 h^3}{B^5})w^{**} - 2\frac{h^3}{B}w^{***} + \left[\frac{B^*(h^3)^*}{B^4} + \frac{2B^{**}(h^3)^*}{B^4} - \frac{7(B^*)^2(h^3)^*}{B^5}\right] + \\
 & \frac{B^{***} h^3}{B^4} - \frac{10B^* B^{**} h^3}{B^5} + \frac{15(B^*)^3 h^3}{B^6}]w^* + \left(\frac{-2(h^3)^*}{B} + \frac{2B^* h^3}{B^2}\right)w''' - Bh^3 w'''' + \\
 & \left(\frac{-\nu(h^3)^*}{B} + \frac{\nu B^*(h^3)^*}{B^2} - \frac{12Bh}{R^2}\right)w = -\frac{12(1-\nu^2)B}{E}q_n
 \end{aligned} \tag{11'}$$

تمثل جملة المعادلات (11') ثلاثة معادلات تفاضلية جزئية بالنسبة للتتشوهات،  $u(x, z)$

$w(x, z)$  . إن أمثل التتشوهات ومشتقاتها توافق للمتحول  $x$  فقط.

إن الحصول على التتشوهات  $u(x, z), v(x, z)$  و  $w(x, z)$  يمثل الحل لمجموعة المعادلات (11'). سوف نبحث عن هذا الحل بشكل سلسلة متعددة على الشكل الآتي

:[6]

$$\begin{aligned}
 u(x, z) &= \sum_n u_n(x) \cos Nz \\
 v(x, z) &= \sum_n v_n(x) \sin Nz \\
 w(x, z) &= \sum_n w_n(x) \sin Nz
 \end{aligned} \tag{12}$$

$$n = 1, 3, 5, \dots, \quad N = \frac{n\pi}{l} \quad \text{حيث:}$$

- طول القشرية.

تعتمد معالجة الحمولات المطبقة على القشرية (حية، وزن ذاتي، ضغط هيدروستاتيكي ...) على افتراض أنها تابعة للمتحول  $x$  فقط. وضعت هذه الفرضية للتمكن من فصل المتغيرات. على سبيل المثال يعطى الوزن الذاتي على الشكل الآتي:

$$g = \gamma_1 h \quad (13)$$

حيث:  $\gamma_1$  الوزن الحجمي للبيتون.  
 $h$  سماكة القشرية

بتحليل الوزن الذاتي إلى مركبتين، إدراهما باتجاه المماس للمحور  $\beta$  والثانية باتجاه النظام الخارجي على السطح، نحصل على:

$$g_\beta = \frac{\gamma_1 h \frac{x}{p}}{\sqrt{1 + \left(\frac{x}{p}\right)^2}}$$

$$g_n = \frac{\gamma_1 h}{\sqrt{1 + \left(\frac{x}{p}\right)^2}} \quad (14)$$

إذا نشرنا هذه المركبات بشكل سلسلة متتالية جيبية (تحوي الجيوب فقط) يجري تمديدها بشكل عكسي على المجال  $(0, l)$ . فإن ثوابت النشر ومركبات الحمولة [1] تساوي:

$$a_0 = 0$$

$$a_n = 0$$

$$b_n = \frac{2}{lN} (1 - \cos n\pi)$$

$$g_\beta = \frac{\gamma_1 h \frac{x}{p}}{\sqrt{1 + (\frac{x}{p})^2}} \sum_n \frac{2}{Nl_0} (1 - \cos n\pi) \sin Nz \quad (15)$$

$$g_n = \frac{\gamma_1 h}{\sqrt{1 + (\frac{x}{p})^2}} \sum_n \frac{2}{Nl_0} (1 - \cos n\pi) \sin Nz$$

أما ضغط المياه الهيدروستاتيكي فتوجد له مركبة واحدة ناظمية على السطح المتوسط:

$$q_n = \gamma(t - y) \quad (16)$$

هنا:  $\gamma$  - الوزن الحجمي للمياه

$t$  - عمق المياه ويساوي الارتفاع الكلي للقناة المرفوعة.

$y$  إحداثيات النقطة على المحور  $y$

إذا نشرنا هذه المركبة بشكل سلسلة متثلية جيبية نقوم بتمديدها بشكل أحادي على

المجال  $(-l, l)$ ، فإن ثوابت النشر ومركبة الحمولة [1] تساوي:

$$a_0 = 0$$

$$a_n = 0 \quad (17)$$

$$b_n = \frac{2}{Nl} (1 - \cos n\pi)$$

$$q_n = \gamma(t - y) \sum_n \frac{2}{Nl} (1 - \cos n\pi) \sin Nz$$

إذا كانت للحمولة مركبة موازية لعمامس خط الإحداثيات  $\alpha$  ، فإنَّ هذه المركبة يجب أن تنشر في سلسلة متثلية تجريبية لإمكانية فصل المتغيرات. ولكن في الحالات الغالبة  $q_\alpha = 0$  (لأنَّ الحمولات في غالبيتها عمودية على المحور  $\alpha$  ولا مركبة لهن عليه)، نبدل السلاسل (12,15) في المعادلات (11). ولما كانت الأمثل المجهولة للتshawهات ومشتقاتها ومركبات الحمولات ليست تابعة للمتغير  $z$  أمكن أن يجري فصل تمام

للمتغيرات ونحصل على  $n$  جملة معادلات، كل منها مكونة من ثلاثة معادلات  
تقاضلية عادية بالنسبة ل  $w_n, u_n, v_n$

$$\begin{aligned} a_1 u_n^{**}(x) + a_2 u_n^*(x) + a_3 u_n(x) + a_4 v_n^*(x) + a_5 v_n(x) + a_6 w_n(x) &= 0 \\ a_7 u_n^*(x) + a_8 u_n(x) + a_9 v_n^{**}(x) + a_{10} v_n^*(x) + a_{11} v_n(x) + & \quad (18) \\ a_{12} w_n^{***}(x) + a_{13} w_n^{**}(x) + a_{14} w_n^*(x) + a_{15} w_n(x) &= a_{23} \\ a_{16} u_n(x) + a_{17} v_n^*(x) + a_{18} w_n^{****}(x) + a_{19} w_n^{***}(x) + & \\ a_{20} w_n^{**}(x) + a_{21} w_n^*(x) + a_{22} w_n(x) &= a_{24} \end{aligned}$$

هنا:

- الأمثل المجهولة للتشوهات ومشتقاتها.

- الحدود الحرة للمعادلات الثانية والثالثة.

يجري التفتيش عن حل لهذه المعادلات على شكل توابع مثلثية. ونعتمد هنا في ذلك على كتابة المشتق الأعلى رتبة على شكل سلسلة مثلثية. ويجري الحصول على المشتقات الأخرى بطريقة التكامل، وهذا أمر مقبول دوماً. بذلك سوف نحصل على ثوابت التكامل غير المحدد، التي سوف تستعمل لتحقيق الشروط الدينية للاحفات الحرة. ولهذا سوف نفترض الآتي:

$$\begin{aligned} u_n^{**}(x) &= \frac{1}{2} u_0 + \sum_m (u_1 \cos Mx + u_2 \sin Mx) \\ u_n^*(x) &= \frac{1}{2} x u_0 + \sum_m \frac{1}{M} (u_1 \sin Mx - u_2 \cos Mx) + c_0 \\ u_n(x) &= \frac{1}{4} x^2 u_0 + \sum_m \frac{-1}{M^2} (u_1 \cos Mx + u_2 \sin Mx) + x c_0 + c_1 \\ v_n^{**}(x) &= \frac{1}{2} v_0 + \sum_m (v_1 \cos Mx + v_2 \sin Mx) \\ v_n^*(x) &= \frac{1}{2} x v_0 + \sum_m \frac{1}{M} (v_1 \sin Mx - v_2 \cos Mx) + c_2 \end{aligned}$$

$$\begin{aligned} v_n(x) &= \frac{1}{2}x^2v_0 + \sum_m \frac{-1}{M^2}(v_1 \cos Mx + v_2 \sin Mx) + xc_2 + c_3 \quad (19) \\ w_n^{****}(x) &= \frac{1}{2}w_0 + \sum_m (w_1 \cos Mx + w_2 \sin Mx) \\ w_n^{***}(x) &= \frac{1}{2}xw_0 + \sum_m \frac{1}{M}(w_1 \sin Mx - w_2 \cos Mx) + c_4 \\ w_n^{**}(x) &= \frac{1}{4}x^2w_0 + \sum_m \frac{-1}{M^2}(w_1 \cos Mx + w_2 \sin Mx) + xc_4 + c_5 \\ w_n^*(x) &= \frac{1}{12}x^3w_0 + \sum_m \frac{-1}{M^3}(w_1 \sin Mx - w_2 \cos Mx) + \frac{1}{2}x^2c_4 + xc_5 + c_6 \\ w_n(x) &= \frac{1}{48}x^4w_0 + \sum_m \frac{1}{M^4}(w_1 \cos Mx + w_2 \sin Mx) + \frac{1}{6}x^3c_4 + \frac{1}{2}x^2c_5 + xc_6 + c_7 \end{aligned}$$

هنا :  $m = 1, 2, \dots$

$$M = \frac{m\pi}{x_0}$$

- إحداثيات حافة الفشرية.

يبلغ عدد الأمثل المجهولة لحدود السلسل المتئية وثوابت التكامل في هذه السلسل  
3 + 6m + 8 وهي الآتية:

$$u_0, u_{11}, u_{21}, \dots, u_{1m}, u_{2m}$$

$$v_0, v_{11}, v_{21}, \dots, v_{1m}, v_{2m}$$

$$w_0, w_{11}, w_{21}, \dots, w_{1m}, w_{2m}$$

$$c_0, c_1, c_2, c_3, c_4, c_5, c_6, c_7$$

نضع السلسل (19) في مجموعة المعادلات التفاضلية العادية (18) ونعيد ترتيب  
المجاهيل كالتالي :

$$[c_0, c_1, c_2, c_3, c_4, c_5, c_6, c_7, u_0, v_0, w_0, (u_1, u_2, v_1, v_2, w_1, w_2)_m]_n \quad (20)$$

نحصل على  $n$  جملة، كل واحدة منها من ثلاثة معادلات بالنسبة للمجاهيل الآتية الذكر (20). إن أمثل المجاهيل في كل معادلة من الجملة هي الآتية:

$d_0, \dots, d_{10}, d_{11,m}, \dots, d_{16,m}$  – أمثل المجاهيل في المعادلة الأولى.

$f_0, \dots, f_{10}, f_{11,m}, \dots, f_{16,m}$  – أمثل المجاهيل في المعادلة الثانية.

$g_0, \dots, g_{10}, g_{11,m}, \dots, g_{16,m}$  – أمثل المجاهيل في المعادلة الثالثة.

إذا جرى اختيار المجاهيل ووضعها في المعادلات، فإن كل معادلة سوف تعطي بعض الانحراف، ويساوي هذا الانحراف الصفر إذا كان اختيار المجاهيل مساوياً لقيمة الحقيقة لحل تلك المعادلات. سوف نحدد ذلك من تعداد الانحراف مع توابع أساسية. إذا كانت  $\{\varphi_k\}$  جملة أساسية ومتعمدة فيما بينها، وكان  $f(x)$  تابعاً مستمراً ومتعمداً مع كل من حدود  $\{\varphi_k\}$  أي أن :

$$\int_a^b f(x) \varphi_k(x) dx = 0 \quad (21)$$

$$k = 1, 2, \dots$$

$$\text{فإن: } f(x) = 0$$

ولهذا سوف نأخذ بمنزلة الجملة  $\{\varphi_k\}$  التوابع المثلثية الآتية:

$$1, \dots, \cos Kx, \sin Kx \quad (22)$$

$$k = 1, 2, \dots \quad K = \frac{k\pi}{x_0} \quad \text{حيث :}$$

سوف نقوم بعد تعويض (19) في (18) بضرب كل من المعادلات الثلاث الناتجة، بكل من  $\{\varphi_k\}$  ونكمال على المجال  $[ -x_0, x_0 ]$ . وهكذا سوف نحصل على مجموعة من  $3 + 6k$  معادلة جبرية خطية بالنسبة للأمثل المجهولة للسلالس المثلثية. يمكن تحديد ثوابت المجموعة أو عناصر مصفوفة الحل كالتالي:

من أجل المعادلة الأولى:

$$D_{i,k} = \int_{-x_0}^{x_0} d_i \varphi_k dx \quad (23)$$

من أجل المعادلة الثانية:

$$F_{i,k} = \int_{-x_0}^{x_0} f_i \varphi_k dx \quad (24)$$

من أجل المعادلة الثالثة:

$$G_{i,k} = \int_{-x_0}^{x_0} g_i \varphi_k dx \quad (25)$$

من أجل الحد الثابت في المعادلة الثانية:

$$q_{\beta,k} = \int_{-x_0}^{x_0} a_{23} \varphi_k dx \quad (26)$$

من أجل الحد الثابت في المعادلة الثالثة:

$$q_{n,k} = \int_{-x_0}^{x_0} a_{24} \varphi_k dx \quad (27)$$

يمكن تحديد تلك العناصر بالطرق العددية المعروفة في التكامل المحدود. باستعمال المعادلات الآففة الذكر، يمكن أن نحدد عناصر مصفوفة من  $3 + 6k$  معادلة جبرية خطية.

**الشروط الحدية:**

يجب أن نحدد الشروط الحدية عند حافات القشرية حيث  $x_0 = x$  و  $-x_0 = x$ . هناك العديد من الاحتمالات للشروط الحدية [5]. على سبيل المثال إن الشروط الحدية من أجل استناد مفصلي على الشكل الآتي:

$$M_2 = 0, u = 0, v = 0, w = 0.$$

ويمكن التعبير عن الشروط الحدية من أجل حافة حرة بغياب القوى والعزوم على هذه الحافة. سوف نتابع مع هذه الحالة، ولهذا فإنَّ الشروط الحدية في نظرية القشريات لهذه الحالة على الشكل الآتي:

$$\begin{aligned} N_2 &= 0 \\ S + \frac{H}{R_1} &= 0 \\ Q_2 + \frac{1}{A} \frac{\partial H}{\partial z} &= 0 \\ M_2 &= 0 \end{aligned} \quad (28)$$

الشرط الحدي الأول :

$$N_2 = 0 \quad (29)$$

من المعادلات (10) :

$$N_2 = K \left( \nu u' + \frac{v^*}{B} + \frac{w}{R} \right) = 0$$

نبذل في هذه المعادلة التشوہات ومشتقاتها بتعابيرها من المعادلات (12)، نحصل على فصل كامل للمتغيرات على شكل n جملة كل منها من معادلة تفاضلية عادية واحدة (سوف نقوم بإسقاط الدليل n) :

$$-\nu Nu(x) + \frac{1}{B} v^*(x) + \frac{1}{R} w(x) = 0$$

نبذل في هذه المعادلة التشوہات ومشتقاتها بتعابيرها من المعادلات (19) ونقوم ببعض الترتيبات فنجد:

$$\begin{aligned} -\nu N x c_0 - \nu N c_1 + \frac{1}{B} c_2 + \frac{1}{6R} x^3 c_4 + \frac{1}{2R} x^2 c_5 + \frac{1}{R} x c_6 + \frac{1}{R} c_7 - \\ \frac{\nu N}{4} x^2 u_0 + \frac{1}{2B} x v_0 + \frac{1}{48R} x^4 w_0 + \sum_m \left[ \frac{\nu N}{M^2} u_1 \cos Mx + \frac{\nu N}{M^2} \sin Mx \right] + \quad (30) \\ \frac{1}{BM} \nu_1 \sin Mx - \frac{1}{BM} \cos Mx + \frac{1}{RM^4} w_1 \cos Mx + \frac{1}{RM^4} \sin Mx = 0 \end{aligned}$$

نبدل في هذه المعادلة  $x = -x_0$  فنحصل على المعادلة الجبرية الأولى من أجل حافة القشرية، من أجل  $x_0 = x$ ، وبطريقة مماثلة نحصل على المعادلة الجبرية الثانية من أجل الحافة الثانية للقشرية.

الشرط الحدي الثاني:

$$S + \frac{H}{R_1} = 0 \quad (31)$$

هنا :  $R_1 = \infty$

$$S = \frac{(1-\nu)K}{2} \left( \frac{u_0}{B} + \nu' \right) = 0 \quad \text{من (10)}$$

بطريقة مماثلة لما حصل مع الشرط الحدي الأول، يمكن فصل المتغيرات والحصول على:

$$\frac{1}{B} u^*(x) + Nv(x) = 0$$

وبتبديل التشوهدات ومشتقاتها في هذه المعادلة بتعابيرها من (19)، وبعد القيام ببعض التنسيق نجد:

$$\begin{aligned} \frac{1}{B} c_0 + Nxc_2 + Nc_3 + \frac{1}{2B} xu_0 + \frac{N}{4} x^2 v_0 + \sum_m \left[ \frac{1}{BM} u_1 \sin Mx - \frac{1}{BM} \right] * \\ u_2 \cos Mx - \frac{N}{M^2} v_1 \cos Mx - \frac{N}{M^2} v_2 \sin Mx = 0 \end{aligned} \quad (32)$$

نبدل في هذه المعادلة (32)  $x = -x_0$  فنحصل على المعادلة الجبرية الثالثة من أجل حافة القشرية. وبطريقة مماثلة من أجل  $x_0 = x$  نحصل على المعادلة الجبرية الرابعة من أجل الحافة الثانية للقشرية.

الشرط الحدي الثالث:

$$Q_2 + \frac{1}{A} \frac{\partial H}{\partial z} = 0 \quad (33)$$

هنا :  $A = 1$

يمكن تحديد  $Q_2$  من المعادلة الرابعة من (4) ومن المعادلة (33) نحصل على الصيغة:

$$\frac{\partial M_2}{B \partial x} + 2 \frac{\partial H}{\partial z} = 0$$

نبذل في هذه المعادلة العزوم بتعابيرها في المعادلة (10) فنجد:

$$\frac{1}{B} \left[ D \left( -\frac{w^{**}}{B^2} + \frac{B^* w^*}{B^3} - \nu w'' \right) \right]^* + 2 \left[ -D(1-\nu) \frac{w^{**}}{B} \right] = 0$$

نقوم بكل الاشتقات وببعض الترتيبات نحصل على:

$$\begin{aligned} & -\frac{h^3}{B^3} w^{***} + \left( \frac{-(h^3)^*}{B^3} + \frac{3h^3 B^*}{B^4} \right) w^{**} + \left( \frac{(h^3)^* B^*}{B^4} + \frac{h^3 B^{**}}{B^4} - \right. \\ & \left. \frac{3h^3 (B^*)^2}{B^5} \right) w^* - (2-\nu) \frac{h^3}{B} w'' - \frac{\nu(h^3)^*}{B} w''' = 0 \end{aligned}$$

بطريقة مماثلة لما حصل مع الشرط الحدي الأول، يمكن فصل المتغيرات والحصول على :

$$\begin{aligned} & -\frac{h^3}{B^3} w^{***} + \left( \frac{-(h^3)^*}{B^3} + \frac{3h^3 B^*}{B^4} \right) w^{**} + \left( \frac{(h^3)^* B^*}{B^4} + \frac{h^3 B^{**}}{B^4} - \right. \\ & \left. \frac{3h^3 (B^*)^2}{B^5} \right) w^* + (2-\nu) \frac{h^3}{B} N^2 w^* + \frac{\nu(h^3)^*}{B} N^2 w = 0 \end{aligned} \quad (34)$$

بتبديل التشوہات ومشتقاتها في هذه المعادلة بتعابيرها من (19)، وبعد القيام ببعض التنسيق، نبذل في هذه المعادلة  $x_0 = x$  فنحصل على المعادلة الجبرية الخامسة من أجل الحافة الأولى القشرية. وبطريقة مماثلة من أجل  $x_0 = x$  نحصل على المعادلة الجبرية السادسة من أجل الحافة الثانية للفقرية.

المعادلة الحدية الرابعة:

$$M_2 = 0 \quad (35)$$

من (10) عندنا :

$$D\left(-\frac{w^{**}}{B^2} + \frac{B^* w^*}{B^3} - \nu w''\right) = 0$$

بفصل المتغيرات نحصل على:

$$-\frac{w^{**}}{B^2} + \frac{B^* w^*}{B^3} + \nu N^2 w = 0$$

بتبدل التشوهات ومشتقاتها في هذه المعادلة بتعابيرها من (19) وبعد القيام ببعض التنسيق، نبدل في هذه المعادلة  $x_0 - x = x$  فنحصل على المعادلة الجبرية السابعة من أجل حافة القشرية. وبطريقة مماثلة من أجل  $x_0 - x = x$  نحصل على المعادلة الجبرية الثامنة من أجل الحافة الثانية القشرية.

ما سبق نكون قد حصلنا على ثمانى معادلات من الشروط الحدية بالإضافة إلى  $3 + 6k$  معادلة من التكامل المحدود. ولهذا فإن العدد الكلى للمعادلات يساوى  $3 + 6k + 8$ . إن العدد الكلى للمجاهيل في المجموعة (20) يساوى  $3 + 6m + 8$  ، ولهذا إذا أخذنا  $m = k$  فسوف يكون عدد المعادلات مساوياً لعدد المجاهيل. وبحل جملة المعادلات الجبرية التي حصلنا عليها نجد المركبة الأولى من  $n$  مركبة للحل، وبطريقة مماثلة نجد بقية مركبات الحل لكل قيم  $n$ . ويمكن تحديد التشوهات ومشتقاتها الآتية (19) :

$$[u^*(x), u(x), v^*(x), v(x), w^{**}(x), w^*(x), w(x)]_n \quad (36)$$

وذلك يمكن تحديد العلاقات المطلوبة للتغيرات ومشتقاتها (12) بالعلاقات الآتية:

$$\begin{aligned} u(x, z) &= \sum_n u_n(x) \cos Nz \\ u^*(x, z) &= \sum_n u_n^*(x) \cos Nz \\ u'(x, z) &= \sum_n -N u_n(x) \sin Nz \\ v(x, z) &= \sum_n v_n(x) \sin Nz \\ v^*(x, z) &= \sum_n v_n^*(x) \sin Nz \\ v'(x, z) &= \sum_n N v_n(x) \cos Nz \\ w(x, z) &= \sum_n w_n(x) \sin Nz \\ w^{**}(x, z) &= \sum_n w_n^{**}(x) \sin Nz \\ w^*(x, z) &= \sum_n w_n^*(x) \sin Nz \\ w^{*'}(x, z) &= \sum_n N w_n^*(x) \cos Nz \\ w''(x, z) &= \sum_n -N^2 w_n(x) \sin Nz \end{aligned}$$

ومن المعادلات (10) يمكن تحديد القوى والعزوم في القشرية:

$$N_1, N_2, S, M_1, M_2, H \quad (38)$$

مثال:

قناة ري مرفوعة ذات مقطع قطعي مكافئ ومتغيرة السماكة

تستعمل أقنية الري المرفوعة لإيصال المياه إلى الحقول. وهي تتكون من قطع بيتونية مسلحة مسبقة الصنع (شكل 1) سوف نطلق على القطعة منها اسم فقرة. وهي مرتكزة من جانبيها على أعمدة. وتمتاز بالكتامة، ولاقت انتشاراً واسعاً في المناطق المعقدة طوبوغرافياً وجيولوجياً، كأن تكون المنطقة المرورية عالية النفاذية، أو ذات

سفوح غير مستقرة، أو ذات تركيب هيدروجيولي غير مناسب، مثل المناطق الجبيسية.

لإنشاء مشروع منخفض التكاليف، يجب أن تزيد أطوال فراتات الأقنية المرفوعة لنقل من عدد الركائز. وهذا سوف يزيد من عزم الانعطاف في وسط فقرة القناة، لأنها تعمل في الاتجاه الطولي كجائز. إن زيادة العزم يتطلب زيادة عزم العطلة، وبتعبير آخر زيادة عمق الفقرة. ولكن ذلك سوف يؤدي إلى زيادة عزم الانعطاف في الاتجاه العرضي، لأنَّ فقرة القناة تعمل في هذا الاتجاه كظفر، مما يتطلب زيادة السماكة، وبالتالي زيادة الوزن. ولهذا فإنَّ السؤال المهم هو: كيف نحدد النسبة الأفضلية بين طول فقرة القناة وعمقها؟. يمكن أن نحل ذلك إذا كان لدينا حل دقيق لفقرة القناة كمنشأة ثلاثة الأبعاد أي ك Krishrie.

نستخدم هنا الطريقة التي جرى شرحها آنفاً للحصول على حل لفقرة قناة رى مرفوعة ذات مقطع قطعي مكافئ.

إن المعادلة (1) من أجل القطع المكافئ على الشكل الآتي:

$$y = \frac{1}{2p} x^2 \quad (39)$$

حيث:  $p$  ثابت القطع المكافئ، وتتراوح قيمته لأقنية الري المرفوعة بين 0.2 و 0.35.

إن عوامل المعادلة التربيعية الأولى للسطح (2) من أجل السطوح الاسطوانية تساوي :

$$A = 1 \\ B = \sqrt{1 + \left(\frac{dy}{dx}\right)^2} = \sqrt{1 + \frac{x^2}{p^2}} \quad (40)$$

$$\frac{dy}{dx} = \frac{1}{p} x \quad \text{هنا:}$$

( const ) للقناة نصف الدائرية - A,B

إن نصف قطر القوس الرئيسي الأول للسطح باتجاه خطوط الإحداثيات  $\alpha$  يساوي:

$$R_1 = \infty$$

إن نصف قطر القوس الرئيسي الثاني للسطح باتجاه خطوط الإحداثيات  $\beta$  يساوي

: (3)

$$R_2 = R = \frac{\left[1 + \left(\frac{dy}{dx}\right)^2\right]^{\frac{3}{2}}}{\frac{d^2y}{dx^2}} = \left(1 + \frac{x^2}{p^2}\right)^{\frac{3}{2}} p \quad (41)$$

$$\text{هنا: } \frac{d^2y}{dx^2} = \frac{1}{p}$$

( const ) للقناة نصف الدائرية - R

سوف نفترض المعطيات الآتية لفترة القناة: طول الفقرة  $l=6m$ . السماكة في القعر

$h=0.065m$  السماكة عند الحافة  $h=0.055m$ ، ولهذا فإن تغير السماكة  $\lambda=0.01$ .

عمق المقطع العرضي للفترة  $t=1m$  . عرض الفقرة عند مستوى الحافة يساوي

$1.674m$  . عامل المرونة (عامل يونغ)  $E=21.4 \times 10^9 Pa$  . وعامل بواسون  $\nu=0.35$

. ثابت القطع المكافئ  $p=0.17$

جرى تحديد النتائج الحسابية للانتقالات والقوى والعزوم في أربعة مقطوع: IV-III-II-

I، وهي على أبعاد:  $z = 0, 1, 2, 3 m$  كما جرى الحساب في كل مقطع في أربع نقاط

: 4-3-2-1 ، على أبعاد  $x = 0, 0.278, 0.556, 0.8367m$

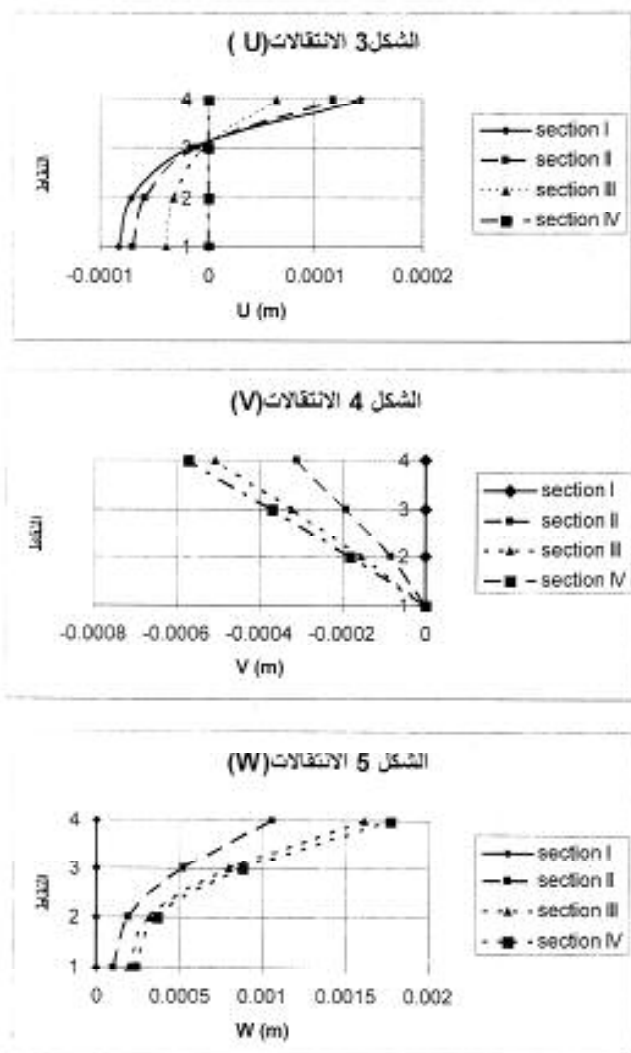
إن النتائج الحسابية ظاهرة على الأشكال 3-4-...-13. ومنها يمكن التوصل إلى

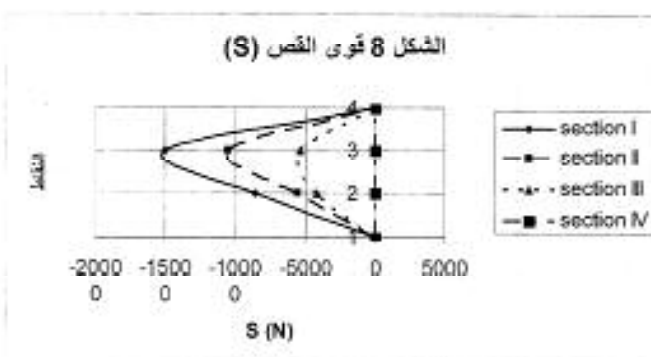
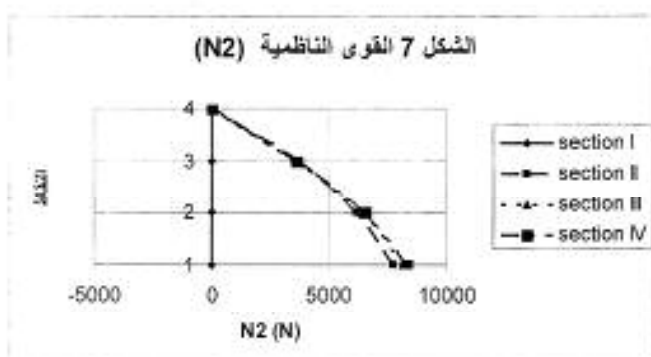
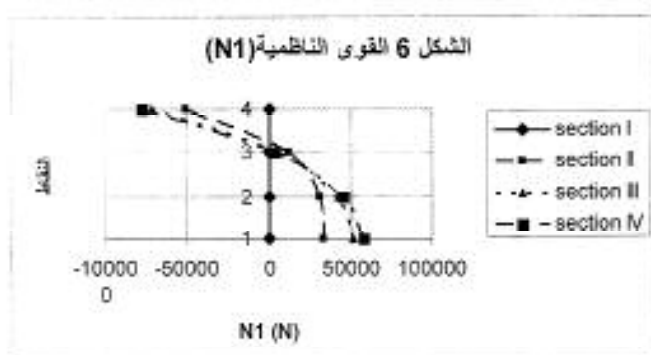
الملاحظات الآتية:

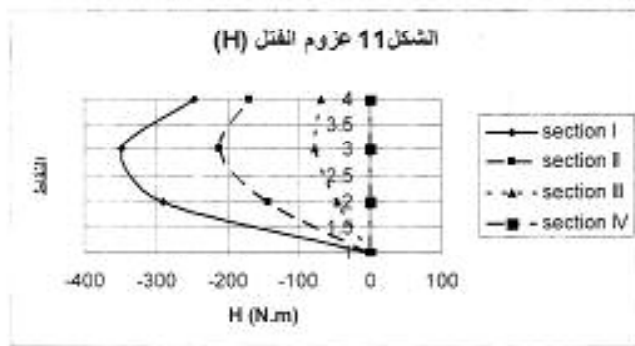
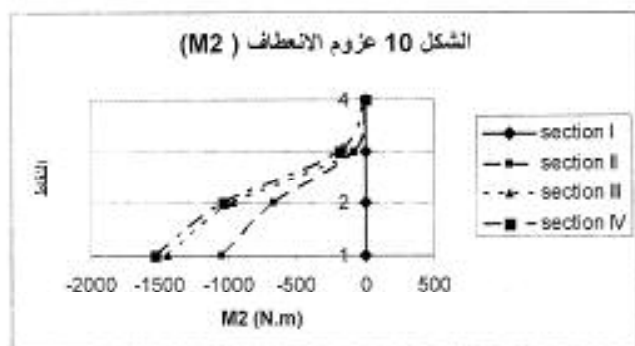
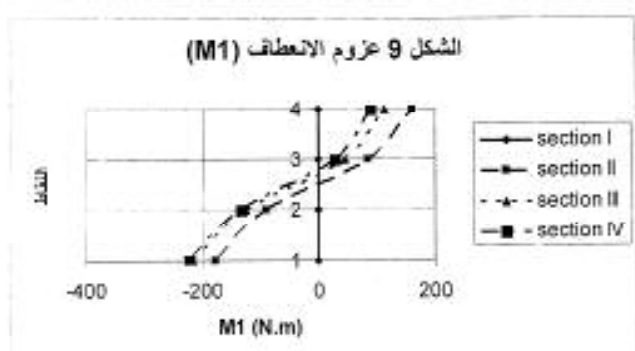
• إن الانتقالات  $u$  المماسية لخط  $\alpha$  (الشكل 3) تتعدم في المقطع الرابع حيث  $z=3m$

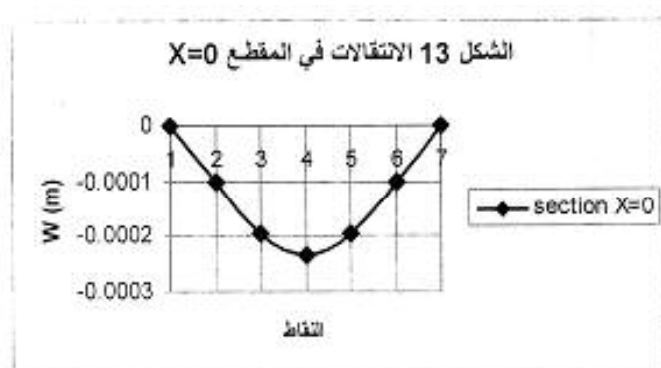
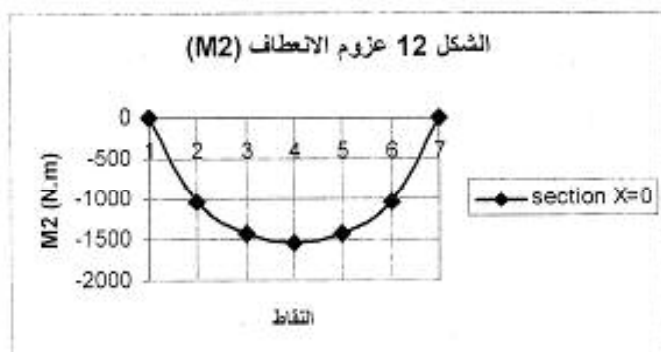
وهي سلبية عند القعر وپيجابية عند الحافة الحرة لمقطع القناة.

- ٠ إن الانتقالات  $\nu$  المماسية للخط  $\beta$  (الشكل 4 ) تتعدم عند قعر القناة حيث  $x=0$ .
- ٠ إن القوى الناظمية  $N_1$  (الشكل 6 ) إيجابية عند قمة القناة وسلبية عند القعر وتتعدم عند حافة الارتكاز .
- ٠ إن قوى القص S (الشكل 8 ) تتحفظ باتجاه منتصف المجال وتتعدم في المقطع الرابع وعند الحافة الحرّة وعند القعر في كل المقاطع حيث  $x=0$ .
- ٠ إن عزوم الفتل H (الشكل 11 ) تتحفظ باتجاه منتصف المجال وتتعدم في المقطع الرابع وعند القعر في كل المقاطع حيث  $x=0$  .  
تبرهن هذه الملاحظات وغيرها أن النتائج منطقية. طبعاً لم نضع هدفنا إجراء تحليل كامل للحالة الإجهادية، وتأثير تغيرات عناصر القناة عليها، إن ذلك موضوع عمل آخر.









#### الخلاصة:

جرى تطوير حل لقشرية اسطوانية ذات مقطع من الدرجة الثانية أو الرابعة. جرى التطوير اعتماداً على النظرية العزمية لنظرية القشريات دون إهمال أي حد من حدودها. يمكن تطبيق هذه الطريقة على كل القشريات ذات السطح المتوسط المعطي كتابع لمحور إحداثيات واحد، ويفترض أن الحمولات تابعة أيضاً لذلك المحور. يمكن استعمال هذه الطريقة لإيجاد حل لقشريات الاسطوانية ذات السماكين المتغيرة، وهذا يؤدي إلى تصاميم أكثر انسجاماً مع الحالة الإجهادية. كما يمكن استخدام هذه الطريقة في إيجاد حلول لقشريات الدورانية، مثل القشريات المخروطية والقطعية المكافئة الدورانية.

تقدير: يقدر الباحث الدعم الذي لقيه من جامعة جورج واشنطن خلال فترة إجازته العلمية فيها.

## المراجع

- [1]- Bronstein, I. N. Semendyayev, K. A. (1998) Handbook of Mathematics. Springer, Berlin.
- [2]- Gol'denweizer, A.L. (1953) Theory of thin elastic shells, GITTL, Moscow.
- [3]- Husien, A. (1970). Calculation of Arch Dams as a Shell of Revolution. Ph.D. Thesis, Moscow Civil Engineering Institute.
- [4]- أ. د. عبد الرزاق الحسين: تطبيق نظرية الفشريات في حساب الاقنيه المرفوقة .نصف الدائرية، مجلة بasel الأسد للعلوم الهندسية العدد 13 - 2001
- [5]- Novozhilov, V. V. (1964). Thin Shell Theory. Noordhoof, The Netherlands.
- [6]- Timoshenko, S Woinowsky-Kriger, S. (1987) Theory of Plates and Shells. McGraw-Hill, inc. New York.
- [7]- Vlasov, V. Z., (1964) General theory of shells and its applications in engineering. NASA.

ورود البحث إلى مجلة جامعة دمشق 20/12/2004.